

XXXII, 11, 1979

УДК 547.963.3:577.17

ИЗУЧЕНИЕ ВЛИЯНИЯ АЛКИЛИРУЮЩЕГО КАНЦЕРОЛИТИКА НА НЕКОТОРЫЕ ХАРАКТЕРИСТИКИ ДНК ОПУХОЛЕНОСЯЩИХ КРЫС

В. М. АСЛАНЯН. А. А. АХРЕМ, П. П. ЯСЕМ, Ю. С. БАБАЯН, Д. Ю. ЛАНДО, С. Г. АРУТЮНЯН, Дж. В. ГАРИБЯН, Г. М. СТЕПАНЯН

Исследовалось влияние противоопухолевого алкилирующего препарата из группы диэтпленимидов алкоксибензил пиримидин амидофосфорных кислот на уровень метилирования и профиль кривых плавления ДНК из тканей здоровых, опухоленосящих животных и из опухоли. Обнаружены различия в степени метилирования и форме кривых плавления ДНК опухоли и тканей здоровых и опухоленосящих животных. Показано, что канцеролитик, не нарушая спиральной структуры ДНК здоровых животных, оказывает дестабилизирующее влияние на ДНК опухоленосящих животных и опухоли. Обнаружено понижение уровия метилирования опухолевой ДНК и ДНК из тканей опухоленосящих животных в процессе воздействия канцеролитика.

Сравнительное изучение нормальных и опухолевых клеток имеет исключительно важное значение для понимания природы злокачественного роста и механизма его подавления противоопухолевыми соединениями. Большой интерес представляют различия в структуре ДНК опухолевых и нормальных клеток, а также ее изменения под действием различных канцеролитиков.

В связи с этим в настоящей работе рассматривается действие in vivo активного канцеролитика, синтезированного в ИТОХ АН АрмССР из группы диэтиленимидов алкоксибензил пиримидин амидофосфорных кислот [3], на ДНК из семенников, селезенки и печеии здоровых крыс, из тканей опухоленосящих крыс и опухолевой ткани. Соединения этого типа могут ковалентно сшивать нити ДНК, причем количество повреждений коррелирует со степенью метилирования [5].

Материал и методика. Для изучения влияния активного канцеролитика на содержание 5-метилцитозина (5 МЦ) в ДНК печени, селезенки, семенников и опухолевой ткани в процессе опухолевого роста использовались здоровые и с трансплантированной саркомой 45 белые беспородные крысы массой 100—120 г. Тридцати здоровым крысам ежедневно внутрибрющино вбодили активный канцеролитик в оптимальной терапевтической дозе 60 мг/кг, в виде суспензии, приготовленной ех тетырех инъекций 15 животных забивали декапитацией. Вторую группу животных (15 крыс) забивали через сутки после восьми инъекций. Одновременно в те же сроки забивали контрольных животных, не получивших препарат. Извлеченные после забоя животных органы и ткани замораживали и выделяли ДНК [8]. Белок определяли по методу Лоури [6], а РНК—спектрофотометрически [4]. Количество белка и РНК препаратов не

превышало 0,5%. Для определения нуклеотидного состава ДНК, включая 5 МЦ, препараты высушивали при 105° и гидролизовали до оснований. Основания разделяли с помощью двукратной одномерной восходящей хроматографии на бумаге. Разделенные основания определяли спектрофотометрически [12]. На 5-е сутки после трансплантации саркомы 45 животных разделяли на подопытную и контрольную группы. Подопытным крысам ежедневно внутрибрющино вводили активный капцеролитик в дозе 60 мг/кг и забивали декапитацией, первую группу после 4-х, а вторую группу после 8-ми инъекций. Контрольные животные за этот период лечения не получали. Из извлеченных после забоя животных органов и тканей выделяли ДНК описанным методом.

Плавление ДНК проводили в буфере 0,1 SSC (1SSC=0,15 M NaCl+0,015 M цитрат натрия, рН 7,3). Ионная сила [Na+]=0,0195. Кривые плавления получены на спектрофотометре UNICAM SP-8000 с плотно закрывающимися 1-сантиметровыми кварцевыми кюветами при непрерывном режиме нагрева растворов ДНК со скоростью 0,25°/мин. Точность определения температуры 0,05°. Гиперхромность для всех препаратов ДНК составляла 36—37%, что характерно для нативных ДНК.

Кривые плавления каждого образца снимались 5—7 раз. Из каждой кривой вычислялись нужные характеристики ДНК, которые потом усреднялись. Поскольку на кривых плавления структурные особенности ДНК проявляются слабо, был осуществлен переход к дифференциальным кривым плавления (ДКП). Во избежание случайных ошибок исходная кривая плавления нормировалась и несколько раз сглаживалась многочленом третьего порядка, проведенным через пять точек методом наименьших квадратов. При этом нас интересовал общий характер ДКП (начало плавления, место пахождения плеч и пиков).

Результаты и обсуждение. Сравнительное изучение ДНК из тканей здоровых, опухоленосящих животных и из опухолевой ткани показывает, что по нуклеотидному составу они не отличаются и соответствуют правилам Чаргаффа. Различие между ДНК здоровых и опухоленосящих животных обнаруживается по содержанию 5 МЦ. В ДНК из тканей всех исследованных органов опухоленосящих животных и самой опухоли уровень метилирования на 5-е и 8-е сутки после перевивки саркомы 45 значительно повышен (таблица). Однако через 15 суток после перевивки содержание 5 МЦ в ДНК из тканей опухоленосящих животных снижается до исходного уровня. В ДНК опухоли оно также существенно ниже, чем на 5-е и 8-е сутки, но все же выше исходного уровия.

Кривые плавления ДНК из тканей здоровых животных и опухолевой ткани заметно различаются. Особенно характерным является появление плеча в низкотемпературной части кривой плавления опухолевой ДНК (рис. 3). Различия в кривых плавления ДНК из тканей опухоленосящих животных и здоровых менее значительны.

При введении канцеролитика здоровым животным наблюдается увеличение степени метилирования ДНК в органах по сравнению с ДНК из тканей животных, не подвергавшихся химиотерапевтическому воздействию. На кривые плавления ДНК из тканей здоровых животных канцеролитик существенного влияния не оказывает (рис. 1).

В отличие от ДНК из тканей здоровых животных у опухоленосящих животных происходит понижение уровня метилирования при введении канцеролитика (таблица), что, по всей вероятности, объясняется разной CH_3 -акцепторной способностью ДНК из разных органов при метилиро-

Временная зависимость процентного содержания 5 МЦ в ДНК различных органов и опухолей животных, получивших и не получивших алкилирующий противоопухолевый препарат

ремя после пе- нвивки опухоли (С-45)	Здоровые животные, получившие препарат	Опухоленосящие животные, не получившие препарат	Опухоленосящие животные, получив- шие препарат
Печень			
5 8 15	1,22 1,29	1,39 1,71 1,07	1,27 0,83
Селезенка			
.5 8 15	1,27 1,46	1,60 1,71 1,25	1,02 1,11
Семенники			
,5 8 ,15	1,18 1,33	1,23 1,66 1,01	1,53 0,88
Опухоль			
5 8 15	= /	1,68 1,93 1,35	1,10 0,98
$-\frac{dU}{dT}$			
1			
012		Vi	
.0,10			
		1	
0.08			
206			
	1		
0.04	//		
	//	11	
,0,02	//	11	
	//	//	
200 56	60 64	68 72 76	
		68 72 76	80 T°C

Рис. 1. Дифференциальные кривые плавления ДНК из органов здоровых животных (———) и здоровых животных, получивших канцеролитик (———). v—степень спиральности.

Bp

ри

вании [9]. Причем в ДНК из печени, селезенки и опухоли на 8-е сутки уровень метилирования почти приближается к норме. Выше нормы он в семенииках, хотя и здесь значительно понижен (таблица). Таким образом, после нескольких инъекций активного канцеролитика наступает обратимое изменение метилирования генома (содержание 5 МЦ в изученных органах приближается к норме), что, по-видимому, происходит путем энзиматического деметилирования (активацией деметилазнод действием алкилирующего препарата).

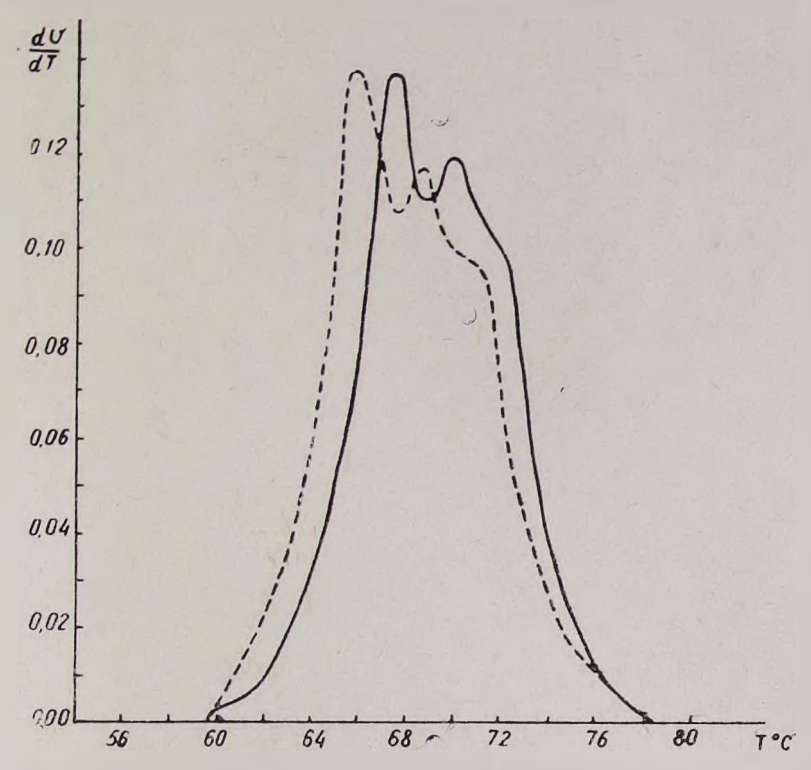


Рис. 2. Дифференциальные кривые плавления ДНК из органов больных животных, получивших (———) и не получивших (———) канцеролитик. v—степень спиральности.

Сильное влияние оказывает канцеролитик на кривую плавления опухолевой ДНК. Во-первых, исчезает характерное для нее низкотемпературное плечо, и кривая плавления принимает форму, свойственную ДНК из интактных тканей; во-вторых, происходит смещение всей кривой в область низких температур (рис. 3). Аналогичная картина отмечается в ДНК из тканей опухоленосящих животных (рис. 2). Еще раз отметим; что подобного смещения кривых плавления ДНК у здоровых животных не наблюдается (рис. 1).

Таким образом, полученные данные показывают, что канцеролитик, не влияя на термостабильность ДНК здоровых животных, оказывает дестабилизирующее воздействие на ДНК из тканей опухоленосящих животных и опухоли.

На основании представленных данных можно предложить следующий механизм действия канцеролитика на ДНК опухолевых тканей.

В опухолевой ДНК имеются характерные для нее протяженные дестабилизированные участки (дефекты), при плавлении которых на кривой возникает низкотемпературное плечо (рис. 3). Эти участки имеют

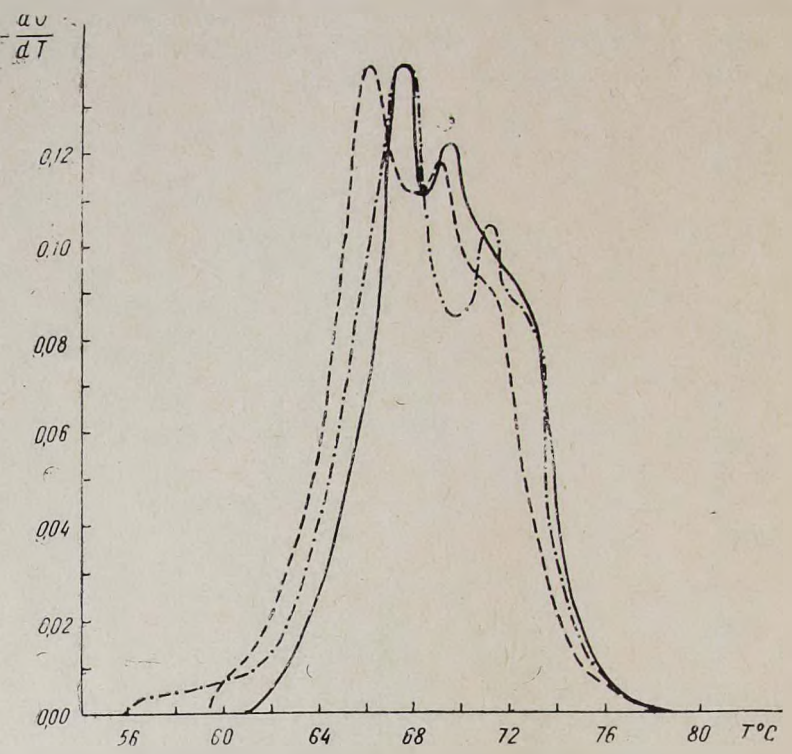


Рис. 3. Дифференциальные кривые плавления ДНК из тканей здоровых животных (—.—.) и из опухоли животных, получивших (——.—) и не получивших (——.) канцеролитик. v—степень спиральности.

длину как минимум в несколько десятков пар оснований. Такой вывод можно сделать на основании ранее полученных данных [1, 2], согласно которым более короткие участки с измененной структурой не могут обусловить появление плеча на дифференциальной кривой плавления. Известно также, что алкилирующие препараты разрывают, а затем сшивают цепи макромолекул ДНК [7, 10]. Данные настоящей работы показывают, что рассматриваемый канцеролитик, видимо, разрывает цепи на дефектных участках опухолевых ДНК (по-видимому, 5 МЦ обогащенных), о чем свидетельствует исчезновение на кривой плавления плеча, характерного для опухолевой ДНК, и изменение количества 5 МЦ (таблица, рис. 3). После выпадения дефектных участков происходит сшивка, на месте которой, однако, структура ДНК нарушена, на что указывает смещение кривой плавления опухолевой ДНК в область низких температур и снижение температуры плавления на 0,5—1,0°, т. е.

при воздействии канцеролитика один вид дефектов (онкологических) заменяется другим (нарушение структуры ДНК на месте сшивки).

Отметим, что дефектные участки на месте сшивки в отличие от участков, характерных для опухолевых ДНК, имеют небольшую длину. Это следует из указанных выше работ [1, 2], в которых показано, что короткие участки (меньше нескольких десятков пар оснований) не проявляются на кривых плавления в виде отдельного пика или плеча, а вызывают равномерное смещение всей кривой. Как видно из рис. 3, именно этот эффект равномерного смещения кривой плавления опухолевой ДНК имеет место в присутствии канцеролитика.

Таким образом, можно предположить, что снижение уровня метилирования и частичное восстановление структурных характеристик (судя по ДКП) опухолевых ДНК под влиянием алкилирующего препарата могут быть обусловлены канцеролитической активностью препарата.

Ереванский государственный университет, кафедра молекулярной физики и биофизики, ИТОХ АН БССР

Поступило 5.Х 1979 г.

ԱԼԿԻԼԱՑՆՈՂ ԿԱՆՑԵՐՈԼԻՏԻԿ ՄԻԱՑՈՒԹՅԱՆ ԱԶԴԵՑՈՒԹՅԱՆ ՈՒՍՈՒՄՆԱՍԻՐՈՒՄԸ ՈՒՌՈՒՑՔԱԿԻՐ ԱՌՆԵՏՆԵՐԻ ԴՆԹ–Ի ՈՐՈՇ ՔՆՈՒԹԱԳՐԻՉՆԵՐԻ ՑՈՒՑԱՆԻՇՆԵՐԻ ՎՐԱ

Վ. Մ. ԱՍԼԱՆՑԱՆ, Ա. Ա. ԱԽՐԵՄ, Պ. Պ. ՏԱՍԵՄ, ՅՈՒ Ս. ԲԱԲԱՅԱՆ, Գ. Յու ԼԱՆԳՈ, Ս. Գ. ՀԱՐՈՒԹՅՈՒՆՅԱՆ, Ջ. Վ. ՂԱՐԻՐՅԱՆ, Հ. Մ. ՍՏԵՓԱՆՅԱՆ

Ուսումնասիրվել է օրգանիզմ ներարկված ալկօբսիբենզիլպիրիմիդիլ ամիդոֆոսֆորական ինուների դիէնիլենիմիդների խմբին պատկանող հակաուռուցքային պրեպարատի աղդեցունյունը առողջ և ուռուցքակիր (սարկոմա 45)
առնետների հյուսվածջներից անջատված ԴՆԹ-ի մենիլացման մակարդակիւ
և հայման կորերի պրոֆիլի վրա։ Տարբերունյուններ են նկատվել այդ
ԴՆԹ-ների մենիլացման մակարդակի և հալման կորերում։ Ցույց է տրվում,
որ կանցերոլիտիկը չխախտելով առողջ կենդանու ԴՆԹ-ի զսպանակային կառուցվածքը, դեստաբիլիզացնող աղդեցունյուն է նողնում ուռուցքակիր կենդանու ուռուցքից և օրդաններից անջատված ԴՆԹ-ների վրա։ Ընդ որում,
ուռուցքային ԴՆԹ-ի հալման կորի վրա անհետանում են նրա բնունագրի։
ԴՆԹ-ի հալման կորին։ Կանցերոլիտիկ միացունյան ազդեցունյան հետեվանքով նկատվել է ուռուցքակիր կենդանիների օրդաններից և ուռուցքից
անջատված ԴՆԹ-ների մենիլացման աստիճանի նվաղում։

INVESTIGATION OF ALKYLIZING CANCEROLYTIC INFLUENCE ON SOME CHARACTERISTICS OF DNA FROM TUMOR-CARRYING RATS

V. M. ASLANIAN, A. A. ACHREM, P. P. YASEM, U. S. BABAIAN, D. U. LANDO, S. G. HARUTYUNIAN, G. V. GHARIBIAN, G. M. STEPANIAN

The influence of inserted into organism alkylizing antitumoral preparation from the group of diethylenimid alkoxibenzyl pyrimidin of amidophosphoric acid on the methylation level and on the profile of melting curves of DNA from tissues of healthy, tumor-carrying (with sarcoma 45) animals and from tumor is investegated. The differences in the degree of methylation and melting curve form of tumoral DNA and DNA of healthy and tumor-carrying animals are found out. It's shown, that the cancerolytic not disturbing the coiled structure of DNA from healthy animals has a destabilizing influence on DNA of tumor-carrying animals and tumoral DNA. Lowering the methylation level of tumoral DNA and DNA from tissues of tumor-carrying animals in the process of cancerolytic influence is found out.

ЛИТЕРАТУРА

- 1. Ахрем А. А., Ландо Д. Ю., Крот В. И., Андрианов В. Т. Мол. биол., 11, 555, 1977.
- 2. Ахрем А. А., Ландо Д. Ю., Андрианов В. Т. Мол. биол., 11, 1065, 1977.
- 3. Крамер М. С., Саакян А. Г., Степанян Г. М., Ароян А. А. Арм. хим. журн., 39, 9, 752—755, 1977.
- 4. Спирин А. С. Бнохимия, 23, 656, 1958.
- Brambilla G., Cavana M., Parodi S., Sciaba L., Pino A., Robiano L. Int. J. Cancer., 22, 2, 174-180, 1978.
- 6. Lowery O. H., Rosenbrough H. J. et al. J. Biol. Chem., 193, 265, 1951.
- 7. Lown J., William J., McLaughin Larry W., Charg Van Min Bioorg. Chem., 7' 1, 97-110, 1978.
- 8. Marmur J. J. Mol. Biol., 3, 208, 1961.
- 9. Morgan W. W., Cameron J. L. Cancer. Res., 33, 441, 1973.
- 10. Nakamura T., Sasada M., Tatsumi K. Acta Haematol. Jap., 40, 6, 1131-1144, 1977.
- 11. Phulmann H. W., Gercharch H. Z. Rirbsfarseh und Klin. Onkol., 33, 177, 1978.
- 12. Vanyushin B. F., Masin A. L. et al. BBA, 299, 397, 1973.